

Andrzej Kostecki
Instytut Nafty i Gazu, Kraków

Algorytm migracji MG(F-K) dla anizotropowego ośrodka typu HTI (*Horizontal Transversely Isotropy*)

Wstęp

Anizotropowy model HTI jest obiektem, który uzyskuje się z obrotu modelu VTI (*Vertical Transversely Isotropy*) – czyli ośrodka o płasko-równoległej laminacji o kąt 90° , (rysunek 1). Wówczas warstwowy ośrodek zajmuje pozycję pionową, a oś symetrii pokrywa się z poziomą osią x . Tego rodzaju obiekt może również imitować system pionowych szczelin i tym samym wyznaczać kierunki anomalnych naprężeń w ośrodku skalnym.

Kombinacja pionowych (HTI) i monoklinalnych (TTI – *Tilted Transversely Isotropy*) modeli [7] stanowi złożony

układ spękań i szczelin azymutalnie anizotropowego modelu, którego znajomość jest wielce przydatnym elementem w ocenie możliwości prospekcji naftowej.

Algorytm zostanie przedstawiony w dziedzinie częstotliwości (F) i liczb falowych (K), i będzie kolejną wersją algorytmiczną w ośrodku anizotropowym migracji MG(F-K) [4, 5].

Zasadniczym elementem rozwiązania algorytmicznego będzie pionowa liczba falowa k_z – określona ze związku dyspersyjnego i przedstawiona w postaci przydatnej w procesie głębokościowej ekstrapolacji pola falowego.

Podstawowe równania

Rozważmy propagację pola falowego wzbudzonego i zarejestrowanego w ośrodku dwuwymiarowym (2D) w płaszczyźnie x - z (rysunek 1).

Pomiar dokonywany jest wzdłuż osi symetrii x , prostopadłej do laminacji ośrodka. Po lewej stronie rysunku zamieszczono dla porównania szkic ośrodka typu VTI.

W ośrodku dwuwymiarowym pochodne składowych pola falowego względem osi y są równe zeru, a ponadto korzystając z możliwości rozdzielania fal poprzecznych

SH od fal typu P (podłużne) i fal SV (poprzeczne, o polaryzacji w płaszczyźnie x - z) będziemy analizować jedynie składowe przemieszczeń U_x i U_z – uważając, że $U_y = 0$, ponieważ składowa ta jest niezależna od U_x i U_z .

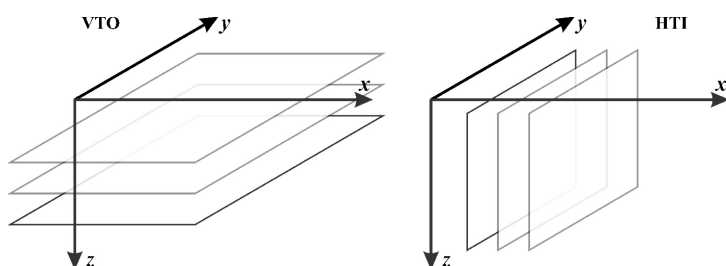
Wychodząc z ogólnego prawa ruchu (z pominięciem siły zewnętrznej)

$$T_{ij,j} = \rho \frac{\partial^2 U_i}{\partial t^2} \quad (1)$$

gdzie T_{ij} jest tensorem naprężenia, U_i oznacza i -tą składową przemieszczenia, a ρ jest gęstością ośrodka, i stosując prawo Hooke’a – podstawowy związek pomiędzy tensorem naprężenia T_{ij} i tensorem deformacji E_{ij}

$$T_{ij} = d_{ijkl} E_{kl} = d_{ijkl} E_{lk} \quad (2)$$

gdzie d_{ijkl} jest 4 rzędu tensorem modułów sprężystości, oraz związek tensora odkształcenia E_{lk} ze składowymi przemieszczenia U_l



Rys. 1. Model HTI

$$E_{lk} = \frac{1}{2}(U_{l,k} + U_{k,l}) \quad (3)$$

uzyskujemy w zapisie macierzowym związek:

$$\begin{pmatrix} T_{11} \\ T_{22} \\ T_{33} \\ T_{23} = T_{32} \\ T_{13} = T_{31} \\ T_{12} = T_{21} \end{pmatrix} = D^{90^\circ, 90^\circ} \begin{pmatrix} U_{1,1} = U_{x,x} \\ 0 \\ U_{3,3} = U_{z,z} \\ 0 \\ 2E_{31} = U_{z,x} + U_{x,z} \\ 0 \end{pmatrix} \quad (4)$$

Macierz $D^{90^\circ, 90^\circ}$ jest symetryczną (6×6) macierzą modułów sprężystości, skonstruowaną poprzez rotację układu współrzędnych względem osi z ośrodka poprzecznie izotropowego (TI) o kąt φ oraz o kąt upadu θ . W rozpatrywanym przypadku kąt $\varphi = 90^\circ$, a kąt upadu θ również wynosi 90° . Składowe tensora d_{ijkl} (w skróconym zapisie Voigta) przedstawiają się następująco [4, 9]:

$$\begin{aligned} d_{11} &= C_{33}; & d_{12} &= C_{13}; & d_{13} &= C_{13}; & d_{14} &= d_{15} = d_{16} = 0 \\ d_{21} &= C_{13}; & d_{22} &= C_{11}; & d_{23} &= C_{12}; & d_{24} &= d_{25} = d_{26} = 0 \\ d_{31} &= C_{13}; & d_{32} &= C_{12}; & d_{33} &= C_{11}; & d_{34} &= d_{35} = d_{36} = 0 \\ d_{44} &= C_{66}; & d_{55} &= C_{44}; & d_{66} &= C_{44} \end{aligned}$$

tak więc macierz $D^{90^\circ, 90^\circ}$ ma postać:

$$D^{90^\circ, 90^\circ} = \begin{pmatrix} C_{33} & C_{13} & C_{13} & 0 & 0 & 0 \\ C_{13} & C_{11} & C_{12} & 0 & 0 & 0 \\ C_{13} & C_{12} & C_{11} & 0 & 0 & 0 \\ 0 & 0 & 0 & C_{66} & 0 & 0 \\ 0 & 0 & 0 & 0 & C_{44} & 0 \\ 0 & 0 & 0 & 0 & 0 & C_{44} \end{pmatrix} \quad (5)$$

gdzie elementy macierzy C_{ij} stanowią składowe tensora modułów sprężystości właściwych ośrodkowi VTI (*Vertical Transversely Isotropy*).

Stosując relację (2) i posługując się związkami (4)-(5), mamy następujące wyrażenia pochodnych naprężeń dla przemieszczeń cząstek ośrodka w kierunku x (U_1) i z (U_3):

$$T_{11,1} + T_{13,3} = \rho \frac{\partial^2 U_1}{\partial t^2} \quad (6a)$$

$$T_{31,1} + T_{33,3} = \rho \frac{\partial^2 U_3}{\partial t^2} \quad (6b)$$

Posługując się równaniami (4)-(5) w odniesieniu do równań (6a) i (6b), otrzymujemy następujące relacje:

$$C_{33}U_{x,xx} + C_{44}U_{x,zz} + (C_{13} + C_{44})U_{z,zx} = \rho \frac{\partial^2 U_x}{\partial t^2} \quad (7a)$$

$$(C_{44} + C_{13})U_{x,xx} + C_{44}U_{z,xx} + C_{11}U_{z,zz} = \rho \frac{\partial^2 U_z}{\partial t^2} \quad (7b)$$

Po zastosowaniu transformacji Fouriera ($x \rightarrow k_x, z \rightarrow k_z, t \rightarrow \omega$) uzyskujemy równanie macierzowe:

$$\begin{pmatrix} C_{33}k_x^2 + C_{44}k_z^2 - \rho\omega^2 & (C_{13} + C_{44})k_x k_z \\ (C_{13} + C_{44})k_x k_z & C_{11}k_z^2 + C_{44}k_x^2 - \rho\omega^2 \end{pmatrix} \begin{pmatrix} U_x \\ U_z \end{pmatrix} \quad (8)$$

gdzie k_x i k_z są liczbami falowymi (odpowiednio poziomą i pionową), a ω jest częstotliwością. Z równania (8) uzyskuje się relację dyspersyjną:

$$b_{0H}k_z^4 + b_{1H}k_x^2 k_z^2 + b_{2H} = 0 \quad (9)$$

gdzie:

$$\begin{aligned} b_{0H} &= C_{11}C_{44} \\ b_{1H} &= k_x^2(C_{33}C_{11} - C_{13}^2 - 2C_{13}C_{44}) - (C_{11} + C_{44})\rho\omega^2 \\ b_{2H} &= k_x^4 C_{33}C_{44} - (C_{33} + C_{44})k_x^2 \rho\omega^2 + \rho^2 \omega^4 \end{aligned} \quad (10)$$

Jeżeli pominąć nieznaczny udział fal poprzecznych typu qSV w pionowej liczbie falowej oraz przyjmując, że $C_{44} = 0$, wtedy:

$$k_z^2 = -\frac{b_{2H}}{b_{1H}} = \frac{\rho^2 \omega^4 - C_{33}k_x^2 \rho\omega^2}{\rho\omega^2 C_{11} - (C_{33}C_{11} - C_{13}^2)k_x^2} \quad (11)$$

Posługując się parametrami Thomsena [8]

$$\begin{aligned} \varepsilon &= \frac{C_{11} - C_{33}}{2C_{33}} \\ \delta &= \frac{(C_{13} + C_{44})^2 - (C_{33} - C_{44})^2}{2C_{33}(C_{33} - C_{44})} \end{aligned} \quad (12)$$

mamy

$$\frac{C_{13}^2}{C_{33}^2} = 1 + 2\delta \quad (13)$$

$$\frac{C_{11}}{C_{33}} = 1 + 2\varepsilon = q \quad (14)$$

a uwzględniając, że prędkość fali podłużnej $V_{pH} = \left(\frac{C_{33}}{\rho}\right)^{1/2}$ – otrzymujemy pionową liczbę falową w postaci:

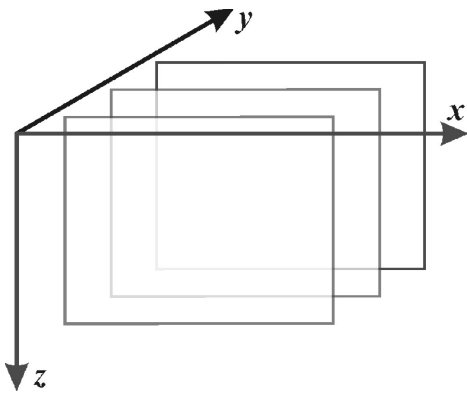
$$k_z = \left(\frac{S_H^4 \omega^4 - S_H^2 \omega^2 k_x^2}{S_H^2 \omega^2 q - \eta k_x^2}\right)^{1/2} \quad (15)$$

W relacji (15) przez S_H oznaczono powolność w kierunku prostopadłym do laminacji, tj. $S_H = \frac{1}{V_{pH}}$, natomiast

$$\eta = 2(\varepsilon - \delta) \quad (16)$$

Rezultat (15) nietrudno zweryfikować, posiłkując się relacją dyspersyjną dla modelu VTI i uzyskany rezultat dla pionowej liczby falowej [1]. W tym celu należy zamienić poziomą liczbę falową k_x na k_z , w relacji dla modelu VTI. Identyczny rezultat uzyska się dokonując zamiany liczb falowych w równaniu Christoffela. Mamy w tym przypadku do czynienia z tzw. limitowaną analogią modeli VTI i HTI, wykorzystaną m.in. przez A. Rügera [6] do określania charakterystyk kinematyczno-dynamicznych różnego typu fal.

Rozważmy inny przypadek modelu HTI; gdy pomiar w płaszczyźnie x - z dokonuje się w kierunku drugiej osi symetrii, tj. równoległe do laminacji (rysunek 2).



Rys. 2. Szkic modelu HTI. Pomiar dokonywany jest w płaszczyźnie x - z wzdłuż osi symetrii, równoległe do laminacji ośrodka

Wówczas macierz modułów sprężystości $D^{\varphi=0^\circ, \theta=90^\circ}$ dla kąta rotacji $\varphi = 0^\circ$ i kąta upadu laminowanego ośrodka – θ (równego 90°) przybierze postać:

$$D^{\varphi=0^\circ, \theta=90^\circ} = \begin{pmatrix} C_{11} & C_{13} & C_{12} & 0 & 0 & 0 \\ C_{13} & C_{33} & C_{13} & 0 & 0 & 0 \\ C_{12} & C_{13} & C_{11} & 0 & 0 & 0 \\ 0 & 0 & 0 & C_{44} & 0 & 0 \\ 0 & 0 & 0 & 0 & C_{66} & 0 \\ 0 & 0 & 0 & 0 & 0 & C_{44} \end{pmatrix} \quad (17)$$

W tym przypadku, podobnie jak i w poprzednim ($\varphi = 90^\circ$ i $\theta = 90^\circ$), zignorujemy składową U_y oraz jej pochodne w kierunku prostopadłym do płaszczyzny pomiarów x - z , a zatem posłużymy się relacjami (6a) i (6b) oraz związkami (4), w którym macierz $D^{\varphi=90^\circ, \theta=90^\circ}$ należy zastąpić przez $D^{\varphi=0^\circ, \theta=90^\circ}$ – do konstrukcji równań falowych dla składowych U_x i U_z .

W ten sposób uzyskujemy równania ruchu dla obydwu składowych:

$$C_{11}U_{x,xx} + C_{66}U_{x,zz} + (C_{12} + C_{66})U_{z,zx} = \rho \frac{\partial^2 U_x}{\partial t^2}$$

$$C_{66}(U_{z,xx} + U_{x,zz}) + C_{12}U_{x,xz} + C_{11}U_{z,zz} = \rho \frac{\partial^2 U_z}{\partial t^2} \quad (18)$$

a po zastosowaniu transformacji Fouriera względem współrzędnych przestrzennych i czasu ($x \rightarrow k_x$, $z \rightarrow k_z$, $t \rightarrow \omega$) otrzymujemy:

$$\begin{pmatrix} (C_{11}k_x^2 + C_{66}k_z^2 - \rho\omega^2 + (C_{12} + C_{66})k_x k_z) \\ (C_{12} + C_{66})k_x k_z + C_{11}k_z^2 + C_{66}k_x^2 - \rho\omega^2 \end{pmatrix} \begin{pmatrix} U_x \\ U_z \end{pmatrix} = 0 \quad (19)$$

Z relacji (19), przy założeniu, że pomijamy falę poprzeczną przyjmując $C_{66} = 0$, uzyskujemy następującą relację dla pionowej składowej liczby falowej k_z :

$$k_z^2 = \frac{\rho^2 \omega^4 - C_{11} \rho \omega^2 k_x^2}{C_{11} \rho \omega^2 + (C_{12}^2 - C_{11}^2) k_x^2} = S_{II}^2 \omega^2 - k_x^2 \quad (20)$$

W ostatniej relacji skorzystano ze związku $C_{11} = C_{12}$ dla $C_{66} = 0$ i uzyskano ogólnie znaną formułę dyspersyjną dla ośrodka izotropowego, o prędkości wyznaczonej przez parametr $C_{11} = \rho \cdot V_{II}^2 = \rho \cdot S_{II}^{-2}$.

Tak więc dla modelu horyzontalnie poprzecznej izotropii (HTI) mamy dwie różne liczby falowe. Gdy pomiar dokonywany jest wzdłuż osi symetrii prostopadłej do laminacji obowiązuje relacja (15), natomiast gdy pomiar wykonywany jest wzdłuż osi symetrii równoległej do laminacji posługujemy się konwencjonalną liczbą falową – pionową, podobną jak w ośrodkach izotropowych. W ten sposób zdefiniowane pionowe liczby falowe stanowią kluczowe elementy operatora ekstrapolacji w MG(F-K) migracji w dziedzinie liczb falowych i częstotliwości oraz w dziedzinie czasoprzestrzeni. Właściwości tej metody w odniesieniu do izotropowego ośrodka zostały kilkakrotnie przedstawione w publikacjach [2, 3]. Istota metody polega na dualnym działaniu operatorów.

W pierwszym etapie następuje przemieszczanie pola falowego $U(k_x, z_j, \omega)$ z poziomu z_j na poziom $z_j + \Delta z$ za pośrednictwem eksponencjalnego operatora w ośrodku jednorodnym o grubości warstwy Δz , według relacji

$$U(k_x, z_j + \Delta z, \omega) = e^{-ik_z \Delta z} U(k_x, z_j, \omega) \quad (21)$$

W drugim etapie następuje korekta pola falowego $U(x, z_j + \Delta z, \omega)$ – transformaty Fouriera ($k_x \rightarrow x$) pola $U(x, z_j + \Delta z, \omega)$ za pośrednictwem przestrzennego filtra

$F_j(x, \omega) = [1 - i/2 \Delta z M_j(x)]^{-1}$, gdzie $M_j(x) = \int_{k_{z_0}^{-1}}^{k_{z_0}^{-1}} (k_{z_0}^2 - k_z^2) e^{ik_x x} dk_x$ – będącego sumą potęgowego szeregu Neumanna.

